

長大つり橋タワー・ピア系の非比例減衰を考慮した動的耐震解析 —確率論的手法の適用—

京都大学工学部 ○竹宮宏和
同上 山田善一

1. 緒言

長大つり橋タワー・ピア系は、その構成が非常にフレキシブルなタワー・シャフトヒマッシブなピアであるため、耐震設計上興味ある振動性状を示す。つまり、ピア一部は建設地の地盤条件を大きく反影したロッキング及びスウェイの運動を起こし、タワー部の運動と連成する。またピア部の減衰は波動のエネルギー地下逸散及び地盤の復歴復元力特性、内部減衰等でかなり大きな値と思われるが、タワー部は構造減衰が主体で非常に小さい値を示す。こうした上部構造と下部構造の減衰効果の違い（いわゆる非比例減衰マトリックス）は、系全体のモード解析（classical modal analysis）を不可能とするため、本論文では2つの異なる手法を用いて解析している。1つは、地盤の非線形性を等価線形化するに都合の良い方法であり、他はモード間連成振動を調べるために適している。これらの解析結果より、地盤の非線形性が上部構造へ及ぼす影響、及び全体系の非比例減衰を実耐震設計のモード解析のためにいかに配分するかを示すのが本論文の主眼点である。なお、得られた結果に一般性をもたせるため、入力は定常不規則外力を想定する。

2. 構造物系の運動方程式

解析対象のタワー・ピア系は、以前著者らが扱ったものと同一であり、図1のようにモデル化して考える。この系の非減衰時の振動は次式で与えられる。

$$[m] \begin{Bmatrix} \dot{\theta} \\ \dot{x}_p \\ \ddot{x} \end{Bmatrix} + [k] \begin{Bmatrix} \theta \\ x_p \\ x \end{Bmatrix} = -[m] \begin{Bmatrix} 0 \\ 1 \\ 1 \end{Bmatrix} \ddot{z}. \quad (2.1)$$

ここに $[m]$ ：質量マトリックス、 $[k]$ ：剛性マトリックスでこれらの各要素については文献(1), (2)に述べてある。 θ ：ピアの回転角、 x_p ：ピアの並進変位、 $\{x\}$ ：タワー部の変形量ベクトル、 $\{x_p\} = \{x_p + h_i \theta + x_i\}$ ：タワー部の相対変位ベクトル、 h_i ：回転中心から各質点までの高さ、 \ddot{z} ：地動変位

いま、方程式(2.1)において、減衰項を導入するため、まずタワー部とピア部に分ける。すなわち、ベクトル $\{y\} = \{1\} x_p + \{h_i\} \theta + \{x_i\}$ 、あるいはマトリックス表示で

$$\{y\} = [[\{h_i\}; \{1\}]; [I]] \begin{Bmatrix} \dot{\theta} \\ \dot{x}_p \\ \ddot{x} \end{Bmatrix}$$

これを(2.1)式に代入して $[m] = \begin{bmatrix} [m]_p & [0] \\ [0] & [m]_T \end{bmatrix}$, $[k] = \begin{bmatrix} [k]_p & [k]_{PT} \\ [k]_{TP} & [k]_T \end{bmatrix}$ なることを考えると

$$\begin{bmatrix} [m]_p & [0] \\ [0] & [m]_T \end{bmatrix} \begin{Bmatrix} \dot{\theta} \\ \dot{x}_p \\ \ddot{x} \end{Bmatrix} + \begin{bmatrix} [k]_p + [k]_{PT}(\{h\}; \{1\}) & [k]_{PT}(\nabla) \\ [k]_{TP} + [k]_T(\{h\}; \{1\}) & [k]_T(\nabla) \end{bmatrix} \begin{Bmatrix} \theta \\ x_p \\ x \end{Bmatrix} = - \begin{bmatrix} [m]_p & [0] \\ [0] & [m]_T \end{bmatrix} \begin{Bmatrix} 0 \\ 1 \\ 1 \end{Bmatrix} \ddot{z}. \quad (2.2)$$

(2.2)式より、ピア部については

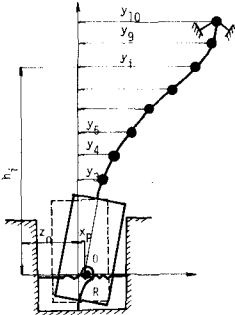


図1. タワー・ピア系

$$[m]_p \begin{Bmatrix} \theta \\ \ddot{x}_p \end{Bmatrix} + ([k]_p + [k]_{PT}(\{h\} \{1\})) \begin{Bmatrix} \theta \\ x_p \end{Bmatrix} + [k]_{PT} \{x\} = -[m]_p \begin{Bmatrix} 0 \\ 1 \end{Bmatrix} \ddot{z}. \quad (2.3.a)$$

タワー部については、(2.2)式の剛性項において $[k]_{TP} + [k]_T(\{h\} \{1\}) = [0]$ となるので

$$[m]_T \{\ddot{x}\} + [k]_T \{x\} = -[m]_T (\{h\} \ddot{\theta} + \{1\} \ddot{x}_p + \{1\} \ddot{z}). \quad (2.3.b)$$

(2.3.a), (2.3.b) 式は構造物-地盤系の動的相互作用を扱う場合の通常の表現方法であるが、ピア部については、(2.1)式から座標変換によって導いているのでタワー部の影響は慣性項に入らず剛性項に入っている。

さて、減衰効果をピア部については、それぞれロッキング及びスウェイに対して次式で与える。

$$C_\theta = 2\beta_\theta \sqrt{k_\theta I_p}, \quad C_h = 2\beta_h \sqrt{k_h m_p} \quad \text{但し } I_p, m_p \text{ はピアのR点に関する回転慣性モーメント及び質量} \\ \text{従って、(2.3.a)式は } [m]_p \begin{Bmatrix} \theta \\ \ddot{x}_p \end{Bmatrix} + \begin{bmatrix} C_\theta & 0 \\ 0 & C_h \end{bmatrix} \begin{Bmatrix} \theta \\ \ddot{x}_p \end{Bmatrix} + ([k]_p + [k]_{PT}(\{h\} \{1\})) \begin{Bmatrix} \theta \\ x_p \end{Bmatrix} + [k]_{PT} \{x\} = -[m]_p \begin{Bmatrix} 0 \\ 1 \end{Bmatrix} \ddot{z}. \quad (2.4.a)$$

一方、タワー部に対しては、(2.3.b)式がモード解析できること仮定して、各次モードについて、それぞれ減衰定数を考える。すなわち、減衰項を入れた(2.3.b)式を座標変換 $\{x\} = [\nabla] \{\xi\}$ でモード座標で表わすと

$$[I] \{\ddot{\xi}\} + [2\beta_i \omega_i] \{\dot{\xi}\} + [\omega_i^2] \{\xi\} = -[\nabla]^T [m]_T (\{h\} \ddot{\theta} + \{1\} \ddot{x}_p + \{1\} \ddot{z}). \quad (2.4.b)$$

ここで、 $[\nabla]$ はタワー部のみのモード・マトリックスで $[\nabla]^T [m]_T [\nabla] = [I]$, $[\nabla]^T [k]_T [\nabla] = [\omega_i^2]$ 且し、 $[\nabla]^T$ は $[\nabla]$ の転置行列であり、 ω_i はタワーのみの固有振動数である。

以上のようにして導入した減衰系を、(2.1)式の形で書くと

$$[m] \{\ddot{\xi}\} + [c] \{\dot{\xi}\} + [k] \{\xi\} = \{F\} \ddot{z}. \quad (2.5) \quad \text{但し } \{\dot{\xi}\} = \begin{Bmatrix} \{\theta\} \\ \{x_p\} \end{Bmatrix}, \{F\} = -[m] \begin{Bmatrix} 0 \\ 1 \end{Bmatrix}, [c] = \begin{bmatrix} [C_\theta & 0] & [0] \\ [0 & C_h] & [\nabla]^T [2\beta_i \omega_i] [\nabla]^{-1} \end{bmatrix}$$

この形の減衰マトリックス作成方法は文献(3)にも述べられているが、著者らは、以前、実験的にピアにロッキングのみを許した場合の $[c]$ を作成し、後の解析に使用している。⁴⁾

3. 応答解析 (周波数領域での解析)

(2.4.a) と (2.4.b) 式を連立させて解くのであるが、まず、後者のフーリエ変換をとると

$$\{\dot{\xi}\} = [H_i(\omega)] [\nabla]^T [m]_T \{(\{h\} \hat{\theta} + \{1\} \hat{x}_p) \omega^2 + \hat{z}\} \quad (3.1)$$

但し、 $\theta \subset \hat{\theta}$, $x_p \subset \hat{x}_p$, $z \subset \hat{z}$. (記号にはフーリエ変換符を表す) で

$$H_i(\omega) = \frac{1}{\omega_i^2 - \omega^2 + i 2\beta_i \omega_i \omega}$$

また、(2.4.a) 式のフーリエ変換に(3.1)式を代入し、ベクトル $\{\hat{\theta}\}_{\hat{x}_p}$ について解くと

$$\{\hat{\theta}\}_{\hat{x}_p} = \left[\omega^2 (-[m]_p + [k]_{PT} [\nabla] [H_i(\omega)] [\nabla]^T [m]_T (\{h\} \{1\})) + i \omega \begin{bmatrix} C_\theta & 0 \\ 0 & C_h \end{bmatrix} + [k]_p + [k]_{PT} (\{h\} \{1\}) \right]^{-1} \cdot \\ ([k]_{PT} [\nabla] [-H_i(\omega)] [\nabla]^T [m]_T \{1\} - [m]_p \begin{Bmatrix} 0 \\ 1 \end{Bmatrix}) \hat{z}. \quad (3.2)$$

あるいは、これを

$$\{\hat{\theta}\}_{\hat{x}_p} = \begin{Bmatrix} H_\theta(\omega) \\ H_{x_p}(\omega) \end{Bmatrix} \hat{z}.$$

と書くことができる。ここで $H_\theta(\omega)$, $H_{xp}(\omega)$ はそれぞれタワー・ヒピアが連成したときのピアのロッキング及ビスウェイの周波数応答関数である。(3.2)式において、全てのタワー部モードを使用するよりも応答貢献度の小さい高次モードを無視して計算を行なうことも考えられる。この場合

$$[\nabla] [H_\theta(\omega)] [\nabla]^T = \left[\sum_{j=1}^M H_j V_{ij} V_{ji} \right] \quad M < (\text{タワー部モード数})$$

(3.2)式の複素数マトリックスの逆行列は、マトリックスの大きさが (2×2) であるので容易に求めまる。次に、タワー部のモードについては、(3.2)式を (3.1)式に代入して

$$\{\tilde{g}\} = \{H_{\theta_i}(\omega)\} \tilde{x}_i \quad (3.3)$$

$$\text{ここに } \{H_{\theta_i}(\omega)\} = [H_\theta(\omega)] [\nabla]^T [m]_T \left([\{h\}] \{1\} \begin{Bmatrix} M_\theta(\omega) \\ M_{xp}(\omega) \end{Bmatrix} \omega^2 + \{1\} \right)$$

いま、外力が不規則変動量であるとき、応答解析はその共分散マトリックスを求めることになる。

$$\text{すなはち } E[\{\tilde{g}\} \{\tilde{g}\}^T] = E\left[\begin{Bmatrix} \{0\} \\ \{x_p\} \\ \{y\} \end{Bmatrix} \{0 x_p y\}^T\right] = [T] E\left[\begin{Bmatrix} \{0\} \\ \{x_p\} \\ \{y\} \end{Bmatrix} \{0 x_p y\}^T\right] [T] \quad (3.4) \text{ ここに } [T] = \begin{Bmatrix} [I] & [0] \\ [h] & [V] \end{Bmatrix}$$

定常確率過程においては、これらの要素はそれぞれの応答に関するパワースペクトル密度より

$$E[\{\tilde{g}\} \{\tilde{g}\}^T] = \int_{-\infty}^{\infty} S_g d\omega \quad (3.5) \text{ 但し } S_g = [T] \begin{Bmatrix} [\{H_\theta\} \{H_\theta^* H_{xp}^*\}] & [\{H_\theta\} \{H_{xp}^*\}] \\ [\{H_{xp}\} \{H_\theta^* H_{xp}^*\}] & [\{H_{xp}\} \{H_\theta^*\}] \end{Bmatrix} [T] S_{\tilde{x}}(\omega) \quad (3.6)$$

で求められる。但し、 $S_{\tilde{x}}(\omega)$ は入力 \tilde{x}_i のパワースペクトル密度であり、星印 $*$ は共役ベクトルを意味する。特に、ピアのロッキング及ビスウェイについては

$$E[\theta^2] = \int_{-\infty}^{\infty} |H_\theta(\omega)|^2 S_{\tilde{x}}(\omega) d\omega \quad E[x_p^2] = \int_{-\infty}^{\infty} |H_{xp}(\omega)|^2 S_{\tilde{x}}(\omega) d\omega \quad (3.7)$$

ところで、地盤を単に線形バネのみで考えるのは妥当といえず、しかもこの非線形性が上部構造物に及ぼす影響は大きいと考えられる。本論文では、地盤の復元力特性に図2に示すような双一次復歴型を想定し、これを等価線形化することにする。不規則外力を受ける双一次復歴型の等価線形化については著者一人が以前に行なった手法を用いる。すなはち、図2のバネ特性に対して

$$K_{eq} = m \omega_{eq}^2 \quad (3.8)$$

ここで、 m はロッキング・バネに対しては R 点に関するピアの慣性モーメント I_p を、またスウェイバネに対してはピアの質量 m_p をとする。そして

$$\omega_{eq}^2 = \omega_0^2 \left\{ \alpha + (1-\alpha) \cdot f_n \left(\frac{\delta_x}{Y} \right) \right\} \quad (3.9)$$

で、 ω_0 はロッキングに対する $\omega_0 = \sqrt{K_\theta / I_p}$ を、スウェイに対する $\omega_0 = \sqrt{K_H / m_p}$ であり、

$$f_n \left(\frac{\delta_x}{Y} \right) = \frac{Y^2}{\delta_x^2} \int_0^{\infty} P_A(u) E \left[\frac{\omega^2}{Y^2} \mid A=u \right] \quad (3.10)$$

$$\text{但し } E \left[\frac{\omega^2}{Y^2} \mid A=u \right] = \begin{cases} \frac{1}{2} & u \leq Y \\ 1 + \frac{1}{\pi} \left[\frac{3u}{2Y} \left(\frac{u}{Y} - \frac{4}{3} \right) \cos^{-1}(1-2\frac{u}{Y}) - (3\frac{u}{Y}-2)(\frac{u}{Y}-1)^{\frac{1}{2}} \right] & u > Y \end{cases}$$

$$P_A(u) = \frac{u}{\delta_x^2} \exp \left(-\frac{u^2}{2\delta_x^2} \right)$$

上式中、 α は非線形の剛性比、 δ_x は応答分散値、 Y は降伏変位を表わしている。一方、等価粘性減衰定数は

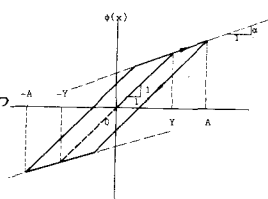


図2. 復元力特性

$$\beta_{eq} = \left(\frac{\omega_0}{\omega_{eq}} \right)^3 \left\{ \beta_0 \left(\frac{\omega_{eq}}{\omega_0} \right)^2 + \sqrt{\frac{\alpha}{\pi}} (1-\alpha) \left(\frac{1}{\sqrt{2}} \frac{\gamma}{\delta_x} \right) \operatorname{erfc} \left(\frac{1}{\sqrt{2}} \frac{\gamma}{\delta_x} \right) \right\} \quad (3.11)$$

ここに $\operatorname{erfc}(\cdot)$ は余誤差関数で、 $\operatorname{erfc}(v) = 1 - \frac{2}{\sqrt{\pi}} \int_v^\infty \exp(-t^2) dt$ で定義され、減衰定数 β_0 はロッキングに対しては β_0 、スウェイに対しては β_H である。以上の等価線形化法の精度は従来の狭帯域応答を仮定した Krylov-Bogoliubov 法よりもずっと優れていますことを記す。

さて、外力に対して (3.7) 式からピアード応答を求め、応答値 δ_x/γ によって、等価回転バネ、並進バネ剛性及び等価粘性減衰定数を (3.8) ~ (3.11) 式より得る。そして、この繰り返しを、等価バネ剛性、等価粘性定数がある値に収束するまで行なう。この過程において、(3.2) 式の逆行列を毎回計算しなければならないが、その大きさが (2×2) であるため全体系で行なうよりずっと有利である。著者らは双一次履歴系には最小応答を示す剛性率が存在することを発見しており、地盤のこの非線形性が上部構造に対しても同様にあてはまるこことをつきとめている。

4. 複素モード応答解析と近似モード応答解析

一般に、応答解析には全体系（タワー・ピアード系）をモード分解し、各モードに適切な減衰定数を与えるのが実際的な耐震設計においては都合が良いと思われる。しかし、タワー部とピアード部はそれぞれ独立に減衰効果を仮定しておいたために、(2.5) 式における減衰項によるモード間連成が生じ厳密な意味でモード解析ができない。この節では、複素モード解析結果と近似モード解析結果との比較を通して、後者の減衰定数決定法について述べる。

式 (2.5) を解くに $\{u\}^T = \{\{g\}^T \{y\}^T\}$ は状態ベクトルを導入すると

$$[A]\{\dot{u}\} + [B]\{u\} = \{P\} \quad (4.1) \quad \text{あるいは} \quad \{\dot{u}\} = -[D]\{u\} + \{Q\}$$

但し $[A] = \begin{bmatrix} [0] & [m] \\ [m] & [c] \end{bmatrix} \quad [B] = \begin{bmatrix} [-m] & [0] \\ [0] & [k] \end{bmatrix} \quad \{P\} = \begin{bmatrix} [0] \\ [F] \end{bmatrix} \quad [D] = \begin{bmatrix} [m]^T [c] & [m]^T [k] \\ -[I] & [0] \end{bmatrix} \quad \{Q\} = [A]^{-1} \{P\}$

$$(4.1) \text{ 式は座標変換} \quad \{u\} = [\Psi] \{r\} \quad (4.2)$$

$$\text{により} \quad \{\dot{r}\} + [\lambda_r] [r] = [\Psi]^T \{P\} \quad (4.3)$$

但し、 λ_r は (4.1) 式より $|[D] - \lambda_r [I]| = 0$ で得られる複素固有値であり、一般に

$$\lambda_r = \mu_r \pm i\nu_r \quad (\mu_r > 0) \quad (4.4)$$

で、 μ_r は減衰効果を、 ν_r は固有振動数を表す。また $[\Psi]$ は対応する複素固有ベクトルからなる複素モードマトリックスである。(4.2), (4.3) 式から外力 γ に対する応答共分散マトリックスが得られるが（付録1参照）、これらは (3.5) 式から計算されるものと同一であることはいうまでもない。以後これらを厳密解と呼ぶ。

次に、(4.4) 式の固有値が通常のモード解析においていかなる対比をなすかを見る。(2.1) 式の固有モードマトリックス $[\Psi]$ を用いて、すばわち $\{y\} = [\Psi] \{g\}$ で、(2.5) 式を座標変換し、前から $[\Psi]^T$ を乘じて

$$[I]\{\dot{g}\} + [\tilde{c}]\{\dot{g}\} + [\omega_r^2]\{g\} = [\Psi]^T \{F\} \quad (4.5)$$

ここで $[\Psi]^T [m] [\Psi] = [I]$, $[\Psi]^T [c] [\Psi] = [\tilde{c}]$, $[\Psi]^T [k] [\Psi] = [\omega_r^2]$ を使用している。 ω_r は全体系の非減衰固有振動数であり、減衰マトリックス $[\tilde{c}]$ は一般に非対角要素が残る。よって全体

系の振動方程式は、

$$\Delta = \begin{vmatrix} A_1 - \tilde{C}_{12}\lambda & \cdots & \tilde{C}_{1N}\lambda \\ -\tilde{C}_{12}\lambda & A_2 & \cdots \\ \vdots & \ddots & \ddots \\ -\tilde{C}_{N1}\lambda & \cdots & A_N \end{vmatrix} = 0 \quad \text{但し } A_j = \lambda^2 - \tilde{C}_{jj}\lambda + \omega_j^2 \quad (4.6)$$

そして、この展開は

$$\Delta = \prod_{j=1}^N A_j + O(\tilde{C}_{ij}^2, \lambda) \quad (4.6)'$$

上式において、非対角要素は一般には対角要素に比べて小さく、振動方程式には2次微小項とばつて表われる。もし、(4.6)式で全ての非対角要素が対角要素に比べて無視できる程小さいならば

$$\lambda_j = \tilde{s}_j \omega_j \pm i \omega_{jd} \quad (4.7) \quad \text{但し } \tilde{s}_j = \tilde{C}_{jj}/2\omega_j, \omega_{jd} = \sqrt{1-\tilde{s}_j^2} \omega_j$$

(4.4), (4.7)式間の対応関係から、この場合モード解析が良い近似で成り立つ。しかし、どうでないときは、モード間の連成振動効果を評価しなければならない。本論文で対象としているタワー・ピア系は、地盤条件によってその動的特性が大きく影響され、依次モード間に亘って固有振動数の接近あるいは分離という現象が生じる¹⁾。しかも、接近の生じるのはピアのみのロッキングあるいはスウェイの固有振動数が、タワーのみのどれかのモードの固有振動数に接近した状況で起るといふことである。以前の著者らの研究では、前者の耐震設計上の重要性を指摘した。また、モードが接近した場合については、(4.4)式、(4.7)式から得られる減衰定数を上の非減衰時モードに使用して応答解析結果を、モード間の位相を考慮したとき、しないとき（これは通常R.M.S.応答と呼ばれる）について比較している。そして、実耐震設計においては、いわゆる応答スペクトルが使用される都合上、(4.7)式の減衰定数を採用してR.M.S.応答を近似応答値として用いることを提案した。本論文では、これを更に改良する二つの試みを述べる。

まず、モード間連成振動効果を各モードに配分するため(4.5)式を次のように表わす。

$$[I]\{\dot{\xi}_j\} + [(2\tilde{\xi}_j\tilde{\omega}_j)]\{\dot{\xi}_j\} + [\omega_j^2]\{\xi_j\} + \{E(\{\xi_j\}\{\dot{\xi}_j\})\} = [\Psi]^T\{F\}\tilde{\xi}_j \quad (4.8)$$

ここで $\tilde{\omega}_j$ と $\tilde{\xi}_j$ は誤差ベクトル $\{\varepsilon\}$ を最小ならしめるように選ばれ、それぞれ等価な固有振動数及び減衰定数と呼ぶ。これは、非線形系の等化線形化の一手法の応用であり、 $\tilde{\omega}_j$ と $\tilde{\xi}_j$ は

$$\frac{\partial E[\{\varepsilon\}^T\{\varepsilon\}]}{\partial (2\tilde{\xi}_j\tilde{\omega}_j)} = 2E[\varepsilon_j \dot{\xi}_j] = 0 \quad \frac{\partial E[\{\varepsilon\}^T\{\varepsilon\}]}{\partial \tilde{\omega}_j^2} = 2E[\varepsilon_j \dot{\xi}_j] = 0 \quad (4.9)$$

から得られ、応答の定常確率過程を考慮すると

$$\tilde{\omega}_j^2 = \omega_j^2 + \frac{\sum_i \tilde{C}_{ji} E[\dot{\xi}_i \dot{\xi}_j]}{E[\dot{\xi}_j^2]} \quad \tilde{\xi}_j = \frac{\sum_i \tilde{C}_{ji} E[\dot{\xi}_i \dot{\xi}_j]}{2\tilde{\omega}_j E[\dot{\xi}_j^2]} \quad (4.9)'$$

上式で $E[\dot{\xi}_i \dot{\xi}_j]$ $E[\dot{\xi}_i \dot{\xi}_j]$ 及び $E[\dot{\xi}_i \dot{\xi}_j]$ は(4.5)式から得られる応答共分散マトリックスである。従って、前もってモード連成系の応答厳密解を零し、この方法は実際的とはいえないが、他の手法から得られる等価なモード非連成系の固有振動数、減衰定数と比較するに一つの基準となろう。

次に実際的な手法として、対象としているタワー・ピア系が、耐震設計上重要なモードのうち二つのモードのみが接近するという事実を利用する。そこで、(4.5)式を近似的に次のように書く。

接近した二つのモード（連成が強い）に対する

$$\begin{bmatrix} 1 & 0 \\ 0 & 1 \end{bmatrix} \begin{Bmatrix} \ddot{\theta}_1 \\ \ddot{\theta}_2 \end{Bmatrix} + \begin{bmatrix} \tilde{C}_{11} & \tilde{C}_{12} \\ \tilde{C}_{21} & \tilde{C}_{22} \end{bmatrix} \begin{Bmatrix} \dot{\theta}_1 \\ \dot{\theta}_2 \end{Bmatrix} + \begin{bmatrix} \omega_1^2 & 0 \\ 0 & \omega_2^2 \end{bmatrix} \begin{Bmatrix} \theta_1 \\ \theta_2 \end{Bmatrix} = \begin{Bmatrix} F_1 \\ F_2 \end{Bmatrix} \ddot{Z} \quad \text{但し } \{F'\} = [\Psi]^T \{F\} \quad (4.10.a)$$

他のモード(連成が弱い)に対して

$$[I] \{ \ddot{\theta}_j \} + [\tilde{C}_{jj}] \{ \dot{\theta}_j \} + [\omega_j^2] \{ \theta_j \} = \{ F' \} \ddot{Z} \quad (4.10.b)$$

(4.10.a)式から応答を求めるに当て、振動系の外力の振動数成分吸収が固有振動数並びにのみ行なわれるとする。これは整減衰系の場合には、外力の振動数特性が系のそれと比較してかなり広帯域であるためあまり誤差を生じない。しかも、上式で $\omega_1 \approx \omega_2$ であるから white noise 外力を想定する。よって $E[\dot{\theta}_2] = \frac{\pi S_{F_1}}{\omega_1^2} \cdot \frac{\tilde{C}_{22}(\omega_1^2 - \omega_2^2)^2 + (\tilde{C}_{11} + \tilde{C}_{22})(\tilde{C}_{11}\tilde{C}_{22} - \tilde{C}_{12}\tilde{C}_{21})\omega_1^2 + (\tilde{C}_{22} - \frac{F_2}{F_1}\tilde{C}_{12})^2\omega_1^2}{\tilde{C}_{11}\tilde{C}_{22}(\omega_1^2 - \omega_2^2)^2 + (\tilde{C}_{11} + \tilde{C}_{22})(\tilde{C}_{22}\omega_1^2 + \tilde{C}_{11}\omega_2^2)(\tilde{C}_{11}\tilde{C}_{22} - \tilde{C}_{12}\tilde{C}_{21})}$ (4.11)

ここで S_{F_1} は外力 $F_1 \ddot{Z}$ のパワースペクトル密度である。また応答 $E[\dot{\theta}_1]$ は (4.11) 式で $\tilde{C}_{11} \rightarrow \tilde{C}_{22}$, $\tilde{C}_{22} \rightarrow \tilde{C}_{11}$, $\tilde{C}_{12} \rightarrow \tilde{C}_{21}$, $F_1 \rightarrow F_2$ とすればよい。ところで、1自由度系

$$\ddot{\theta}_1 + 2\zeta_1 \omega_1 \dot{\theta}_1 + \omega_1^2 \theta_1 = F_1 \ddot{Z} \quad \text{の応答は} \quad E[\dot{\theta}_1] = \frac{\pi S_{F_1}}{2\zeta_1 \omega_1} \quad (4.12)$$

で与えられるので、(4.11), (4.12)式を等価とすと減衰定数 ζ_1 は

$$\zeta_1 = \frac{1}{2\omega_1} \cdot \frac{\tilde{C}_{11}\tilde{C}_{22}(\omega_1^2 - \omega_2^2)^2 + (\tilde{C}_{11} + \tilde{C}_{22})(\tilde{C}_{22}\omega_1^2 + \tilde{C}_{11}\omega_2^2)(\tilde{C}_{11}\tilde{C}_{22} - \tilde{C}_{12}\tilde{C}_{21})}{\tilde{C}_{22}(\omega_1^2 - \omega_2^2)^2 + (\tilde{C}_{11} + \tilde{C}_{22})(\tilde{C}_{11}\tilde{C}_{22} - \tilde{C}_{12}\tilde{C}_{21})\omega_2^2 + (\tilde{C}_{22} - \frac{F_2}{F_1}\tilde{C}_{12})^2\omega_1^2} \quad (4.13.a)$$

$$\text{さらに } \omega_1 = \omega_2 \text{ とすと近似的に } \zeta_1 \approx \frac{1}{2\omega_1} \cdot \frac{(\tilde{C}_{11} + \tilde{C}_{22})(\tilde{C}_{11}\tilde{C}_{22} - \tilde{C}_{12}\tilde{C}_{21})}{(\tilde{C}_{11}\tilde{C}_{22} - \tilde{C}_{12}\tilde{C}_{21}) + (\tilde{C}_{12} - \tilde{C}_{22})^2} \quad (4.14)$$

同様にして ζ_2 も算定される。一方、連成が無視できるモードに対しては (4.10.b)式より

$$\zeta_j = \tilde{C}_{jj} / 2\omega_j \quad (4.13.b)$$

著者らの以前の研究結果では、耐震上重要なモードに対して (4.9)式より得られた $\tilde{\omega}_j$ と ω_j 、また $\tilde{\omega}_j$ と ζ_j の間にはあまり差がなく、(4.13.a), (4.13.b)を用いることができる事を示している。

さて、以上の減衰定数 ζ_j を各次モード系に採用して全体系の応答を近似的に求めることができます。不規則振動論におけるスペクトル解析法から、振動系の応答と外力の関係は振動数領域で

$$[S_g] = [\oplus][S_F][\oplus^*]^T \quad (4.15)$$

ここで $[\oplus]$ は系のレセプタанс・マトリックスで $[\oplus^*]^T$ はその共役転置したものである。そして、 $[\oplus]$ はモード解析が可能なときは $[\oplus] = [\Psi][H_\Psi][\Psi]^T$ (4.16)

但し、 $[H_\Psi]$ の要素は

$$H_{\Psi_j}(\omega) = \frac{1}{\omega_j^2 - \omega^2 + j2\zeta_j\omega_j} \quad (4.17)$$

(4.15)式は Wiener-Kintchine の関係より $E[\{F\}\{F\}^T] = [\Psi]([S_g] \otimes [J]) [\Psi]^T$ (4.18)

ここで記号 \otimes はマトリックスの乗法で要素ごとのそれを意味する。そして white noise 外力に対しては $[S_g] = [\Psi]^T [\{F\}\{F\}^T] [\Psi]$ (4.19)

$$J_{ij} = \frac{4\pi(\zeta_i\omega_i + \zeta_j\omega_j)S_0}{(\omega_i^2 - \omega_j^2)^2 + 4(\zeta_i\omega_i + \zeta_j\omega_j)(\zeta_i\omega_i + \zeta_j\omega_j)\omega_i\omega_j} \quad (4.20)$$

また、共分散マトリックス $[\{F\}\{F\}^T]$, $E[\{F\}\{F\}^T]$ の計算には (4.20)式に代わって

$$\dot{J}_{ij} = \frac{2\pi(\omega_i^2 - \omega_j^2)S_0}{(\omega_i^2 - \omega_j^2)^2 + 4(\xi_i \omega_i + \xi_j \omega_j)(\xi_i \omega_j + \xi_j \omega_i) \omega_i \omega_j} \quad (4.21)$$

$$\text{あるいは } \ddot{J}_{ij} = \frac{4\pi(\xi_i \omega_j + \xi_j \omega_i) \omega_i \omega_j S_0}{(\omega_i^2 - \omega_j^2)^2 + 4(\xi_i \omega_i + \xi_j \omega_j)(\xi_i \omega_j + \xi_j \omega_i) \omega_i \omega_j} \quad (4.22)$$

を用いればよい。 (4.15) 式の計算に当り、注意しなければならないことは、上の減衰定数 ξ_{ij} を各次モードの完全な独立性を前提として求めているので、モード間の位相効果を無視せねばならないということである。これは、応答解析に、いわゆる応答スペクトル図が、いかなる場合も使用可能を意味する。以前の著者らの研究結果では、 (4.18) 式の結果は、二つのモードが接近した場合、厳密解(付録の(A-6)式より計算)に対して、単に (4.5) 式の非対角要素を無視したR.M.S.応答値より良い、しかも安全側の近似となり、 $(4.13.a)$ 式は $(4.13.b)$ の形となり、モード間連成は考慮しなくて良いことになる。なお、実地震記録を入力とした場合にも、上の減衰定数は使用し得ることを認めている。

5. 結論

本論文は、長大つり橋のタワー・ピア系を例にとって、地盤の非線形復元力特性の上部構造に与える影響、及び下部構造と上部構造の減衰の違いを考慮した全体系の応答解析法、並びに実耐震設計における近似応答解析法について述べたものである。前者については、地盤の非線形性が直接上部構造に現われ、双一次復歴系を仮定すると、双一次復歴系と同様な最小応答の剛性率が存在する。また後者については、 $(4.13.a)$, $(4.13.b)$ 式で得る減衰定数をモード解析に用いてR.M.S.応答値を得れば、十分な近似度の実耐震設計が可能である。こうした解析結果は耐震設計上重要な意義を有すとと思われる。

以上の結論は、参考文献に掲げる著者らの最近の研究成果から総合したものである。そこでは、減衰マトリックスの作成が本論に提案するものと異なり、そのため、計算結果については、忠実性を期するため、改めてやり直しをしている。発表当日スライドで用意する予定である。

参考文献

- 1) 山田・竹宮：“不規則外力による多自由度系の応答解析とその長大つり橋タワー・ピア系の耐震解析への応用”，土木学会論文報告集 第163号，1969年3月，pp.17-27
- 2) 小西・山田・高岡・国広：“長大スパンつり橋タワーの耐震計算法に関する研究”，土木学会論文集 第104号，昭39.4月，pp.9-17
- 3) Pajuhesh,J., and Hadjiant,A.H.: "Determination of Composite Damping Matrices", 5 WCEE, June, 1973, Rome, Italy
- 4) 山田・竹宮・工谷：“長大つり橋タワー・ピア系の減衰機構について”，第25回年次学術講演会講演集，I-185, pp.543-544
- 5) Lutes,L.D., and Takemiya,H.: "Random Vibration of a Yielding Oscillator", ASCE, EM Division 投稿中

- 6) Caughey, T.K.: "Random Excitation of a System with Bilinear Hysteresis", J. of Appl. Mech., ASME, Vol.27, 1960, pp.649-652
- 7) Foss, K.A.: "Co-ordinates Which Uncouple the Equations of Motion of Damped Linear Systems", J. of Appl. Mech., ASME, 1958, pp.361-364
- 8) Yamada, Y., Goto, Y., and Takemiya, H.: "Studies on the Earthquake-Resistant Design of Suspension Bridge Tower and Pier System", 5WCEE, June, 1973, Rome, Italy
- 9) Yamada, Y., and Takemiya, H.: "Random Response Analyses of Multi-degree-of-freedom Systems with Non-proportional Damping and Its Application to the Tower-and-pier System of Long-span Suspension Bridges", 関東地震 50 周年記念地震工学シンポジウム論文集, 1973 年 8 月, pp.373-380

付録. 応答共分散マトリックスの計算法 2

ここでは、(4.1)式の複素固有値解析より全体系の応答共分散マトリックスを算出する方法について述べる。応答 $\{u\}$ の共分散マトリックスは、もとの座標 $\{\tilde{q}\}$, $\{\dot{\tilde{q}}\}$ のそれと

$$E[\{u\}\{u\}^T] = \begin{bmatrix} E[\{\tilde{q}\}\{\tilde{q}\}^T] & E[\{\tilde{q}\}\{\dot{\tilde{q}}\}^T] \\ (E[\{\tilde{q}\}\{\dot{\tilde{q}}\}^T])^T & E[\{\dot{\tilde{q}}\}\{\dot{\tilde{q}}\}^T] \end{bmatrix} \quad (A.1)$$

$$\text{で結ばれ、(4.2)式より } E[\{u\}\{u\}^T] = [\Psi] E[\{r\}\{r\}^T] [\Psi]^T \quad (A.2)$$

ところで、複素モード $\{r\}$ の周波数応答関数は (4.3)式より

$$H_{r_j}(\omega) = \frac{1}{\lambda_j + i\omega} \quad (A.3)$$

であるので、(A.2)式のフーリエ変換対をはずパワー・スペクトル密度マトリックスは

$$[S_u] = [\Psi] [H_r] [\Psi]^T [S_p] [\Psi] [H_r^*] [\Psi]^T \quad (A.4)$$

となる。ここに $[S_p] = \begin{bmatrix} [0] & [0] \\ [0] & [S_F] \end{bmatrix}$ 但し、 $[S_F] = [\{F\}\{F\}^T] S_{\ddot{q}_o}(\omega)$

(A.2) 式は、モード・マトリックス $[\Psi]$ が変位 $\{\tilde{q}\}$ と速度 $\{\dot{\tilde{q}}\}$ のものに分けられることを考慮すると、すなはち

$$[\Psi] = \begin{bmatrix} [\Psi_d] & [\Lambda] \\ [\Psi_d] \end{bmatrix}$$

ここに $[\Psi_d]$ は $\{\tilde{q}\}$ のみに関する複素モード・マトリックスである。これを (A.4)式に用いると

$$\begin{bmatrix} [S_{\ddot{q}}] & [S_{\ddot{q}\dot{q}}] \\ [S_{\dot{q}\ddot{q}}]^T & [S_{\dot{q}}] \end{bmatrix} = \begin{bmatrix} [\Psi_d][\Lambda][H_r][\Psi_d]^T [S_p][\Psi_d][H_r^*][\Psi_d]^T & [\Psi_d][\Lambda][H_r][\Psi_d]^T [S_F][\Psi_d][H_r^*][\Psi_d]^T \\ [S_F][\Psi_d][H_r][\Psi_d]^T [S_p][\Psi_d][H_r^*][\Psi_d]^T & [\Psi_d][H_n][\Psi_d]^T [S_p][\Psi_d][H_r^*][\Psi_d]^T \end{bmatrix} \quad (A.5)$$

上式の $[S_{\dot{q}}]$ が (3.6)式のパワー・スペクトル密度マトリックスと同一であることはいうまでもない。

Wiener-Kintchine の関係 (3.5)式より (A.1)式の応答共分散マトリックスは求まる。いま、外力に white noise を仮定すると、それは留数積分を使って容易に求まり

$$E[\{\tilde{q}\}\{\tilde{q}\}^T] = 2 \sum_{i=1,3,\dots}^{2N-1} \sum_{j=1}^{2N} \operatorname{Re} (I_{ij} [\Psi_d][\Psi_d]^T [S_p][\Psi_d][\Psi_d]^T) \quad (A.6)$$

ここで $I_{ij} = \frac{S_o}{\lambda_i + \lambda_j}$ 但し、 S_o は \ddot{q} の white noise レベルである。
また、著者らは、この結果が別な方法で得られることも発表している。⁹⁾